

平成 30 年度

酸性雨調査報告書

環境科学調査センター

目 次

1. 湿性落下物

I 調査目的 ······ 1

II 調査地點 ······ 1

III 調査方法 ······ 2

IV 調査結果 ······ 5

2. 乾性落下物

I 調査目的 ······ 13

II 調査地點 ······ 13

III 調査方法 ······ 13

IV 調査結果 ······ 14

3. 參考文献 ······ 20

資料 測定結果 ······ 21

1. 濡性降下物

I 調査目的

本市では昭和 58 年度後期より酸性雨調査を継続して行っており（昭和 58 年度後期～62 年度は環境庁（現：環境省）が実施した酸性雨長期モニタリング指定地区（全国 7 地区）として受託）、平成 30 年度も長期的な酸性雨の監視のため、1 地点での測定を継続した。

II 調査地点

調査地点は、次の通りである。（図 1）

ア 名古屋市環境科学調査センター（以下、環科セとする）

所在地 南区豊田

採取装置 降水時開放型捕集装置[ウェットオンリー（Wet-Only）]
(小笠原計器製作所：US330)

設置場所 屋上

なお、平成 12 年度より、一週間の捕集を従来の酸性雨ろ過式採取器から、非降雨時における乾性降下物の影響を除くため、Wet-Only の降雨時開放型捕集装置に変更した。

また、昭和 58 年度から平成 2 年度までは、名東区の愛知カンツリー倶楽部（以下、愛知 C とする）で、ろ過式採取器による測定を行っていたが、クラブハウスの建て替えにより採取ができなくなり、鳴海配水場（以下、鳴海とする）に変更した。

さらに、昭和 58 年度から平成 19 年度までは、南区の名古屋市環境科学調査センター（以下、環科セ）と鳴海にて、ろ過式採取器または降雨時開放型捕集装置による採取を行っていたが、平成 20 年度～21 年度は鳴海のみ、平成 22 年度からは環科セのみでの採取とした。

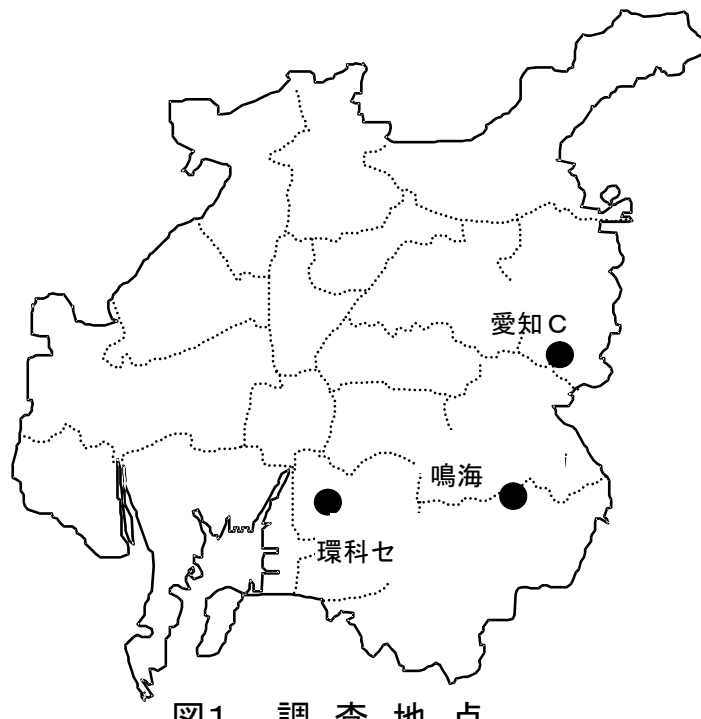


図1 調査地点

III 調査方法

調査には、降水時開放型捕集装置[以下、ウェットオンリー (Wet-Only)](図2)を使用した。

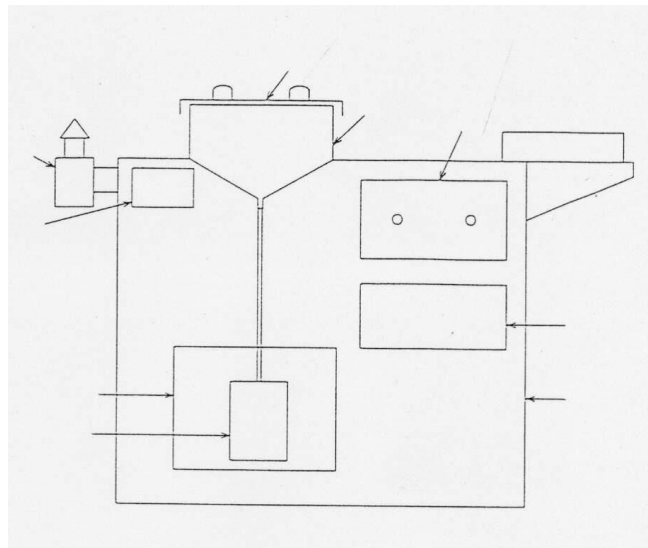
Wet-Onlyは感雨器と移動式の蓋を備えており、非降雨時における粉塵などの乾性降下物の混入を防ぎ、降雨時の湿性降下物のみを捕集する。また、冷蔵庫を有し、捕集した雨水を回収時まで冷蔵保存する。採取期間は原則として一週間であり、期間中の雨水はまとめて複数の降水も1検体とする。

Wet-Onlyの測定項目を表1に示す。また、各測定項目の分析方法とその検出限界を表2に示す。

月毎のデータを算出する時の区切りについて、Wet-Onlyは上記のように週単位の採取をしているため、通常の月の区切りとは一致していない。

各機器の平成30年度における集計期間を表3に示す。

分析の結果、得られたデータの信頼性について、イオンバランスの検定および電気伝導率の計算値と測定値の比較によりQA/QCを行い、必要に応じて再分析を実施した。しかし、再分析の結果、なお信頼性の範囲を超える検体もあった。



W e t - O n l y

図2 湿性沈着物捕集装置図

表 1 測定項目

| 測定項目 | 試料 | | Wet-Only 捕集装置 | |
|-------------------------------|----|----|---------------|---|
| | | 湿性 | ろ過残渣 | |
| pH | | ○ | - | - |
| EC | | ○ | - | - |
| 降下物量 | | - | ○ | - |
| SO ₄ ²⁻ | | ○ | - | - |
| NO ₃ ⁻ | | ○ | - | - |
| Cl ⁻ | | ○ | - | - |
| NH ₄ ⁺ | | ○ | - | - |
| Ca ²⁺ | | ○ | - | - |
| Mg ²⁺ | | ○ | - | - |
| K ⁺ | | ○ | - | - |
| Na ⁺ | | ○ | - | - |

表2 分析の方法と検出限界

| 分析項目 | 分析方法 | 使用機器 | 検出限界 |
|-------------------------------|-----------|------------|------------------|
| pH | ガラス電極法 | 堀場 F-72 | 0.001 |
| EC | 導電率計による方法 | DKK CM-30R | 0.01(25°C μS/cm) |
| SO ₄ ²⁻ | イオンクロマト法 | ICS1000 | 0.0049(μg/mL) |
| NO ₃ ⁻ | 同上 | 同上 | 0.0055(μg/mL) |
| Cl ⁻ | 同上 | 同上 | 0.0033(μg/mL) |
| NH ₄ ⁺ | 同上 | ICS1000 | 0.0064(μg/mL) |
| Ca ²⁺ | 同上 | 同上 | 0.0048(μg/mL) |
| Mg ²⁺ | 同上 | 同上 | 0.00066(μg/mL) |
| K ⁺ | 同上 | 同上 | 0.0042(μg/mL) |
| Na ⁺ | 同上 | 同上 | 0.0036(μg/mL) |

表3 平成30年度月別の集計期間

| 年 月 | Wet-Only 捕集装置 |
|---------|---------------|
| 平成 30/4 | 4/2 ~ 5/1 |
| 5 | 5/1 ~ 5/28 |
| 6 | 5/28 ~ 6/25 |
| 7 | 6/25 ~ 8/6 |
| 8 | 8/6 ~ 9/3 |
| 9 | 9/3 ~ 10/1 |
| 10 | 10/1 ~ 10/29 |
| 11 | 10/29 ~ 11/26 |
| 12 | 11/26 ~ 1/7 |
| 平成 31/1 | 1/7 ~ 2/4 |
| 2 | 2/4 ~ 3/4 |
| 3 | 3/4 ~ 4/1 |

IV 調査結果

(1) 降雨状況

平成 30 年度は、オーバーフローは認められなかった。平成 30 年度の年間降水量は、過去 10 年間（平成 19 年度～29 年度）の降水量と比較してやや少ない値であった（図 3）。月別では、9 月に約 250mm と降水量が多く、春季の多雨と合わせて、年間降水量を押し上げる結果となった。9 月の降水量は、前半に台風 21 号の、後半に台風 24 号の影響が大きい。降水量が最も少ない月は 10 月の 27mm であった。

平成 30 年度の環科セの年間降水量（Wet-Only による貯水量より算出）は、1447mm（平成 29 年度：1555mm）であった。

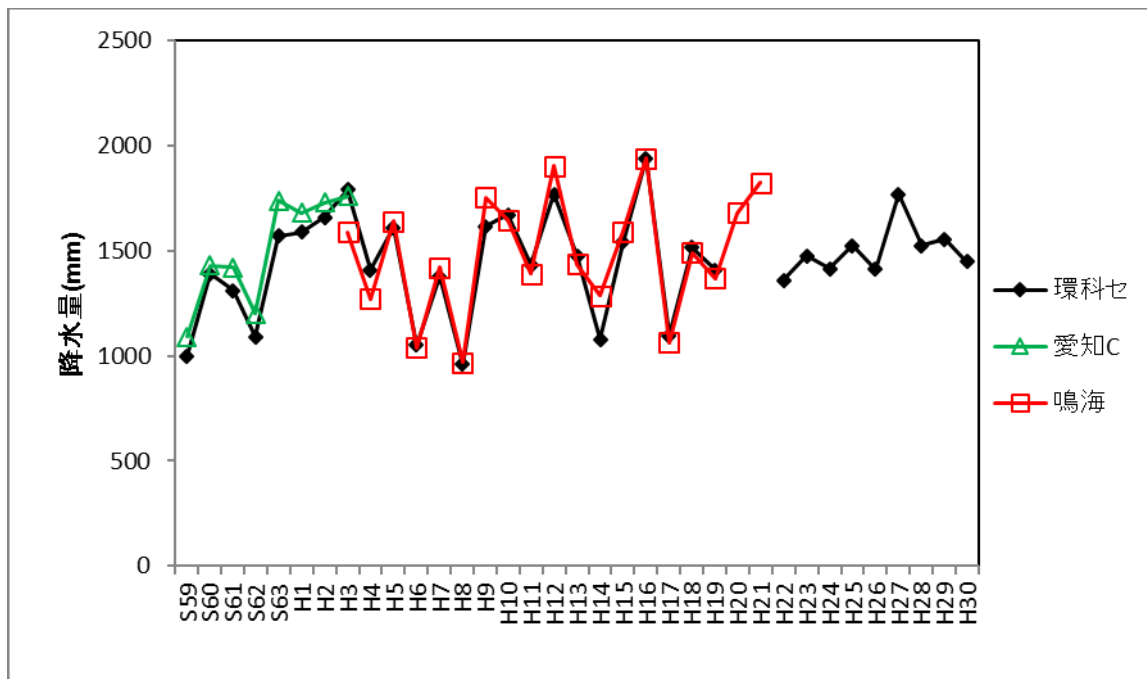


図 3 降雨量の経年変化

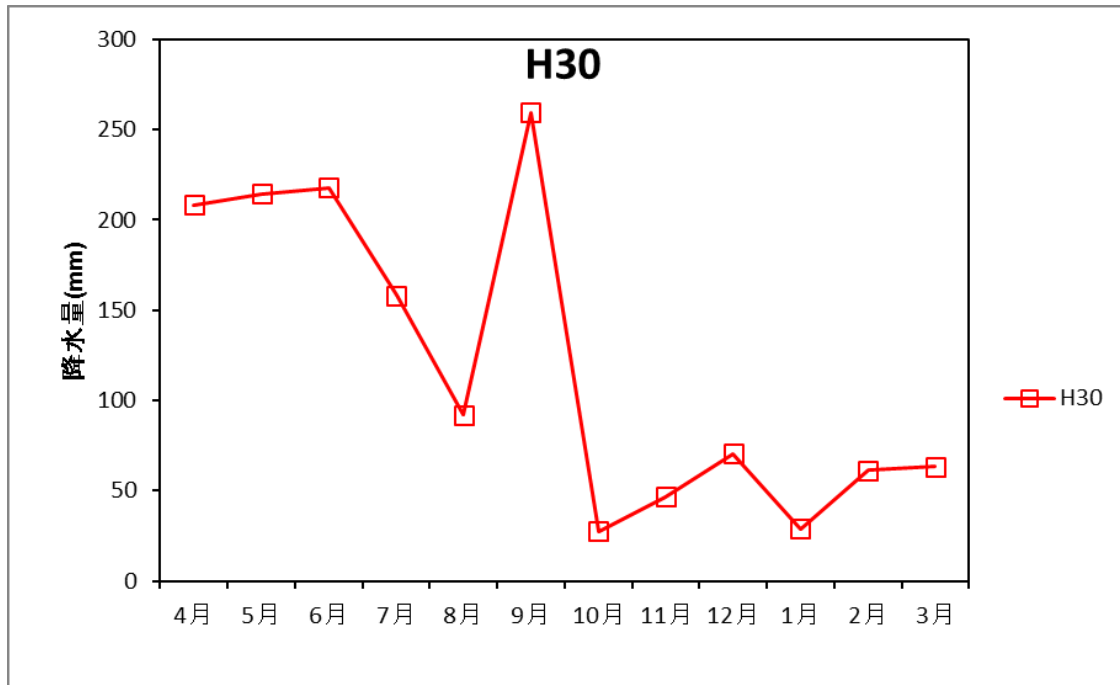


図 4 月別降水量

(2) pH

平成 30 年度の加重年平均 pH は 5.20 であった。

経年変化を図 5、表 4 に示す。平成 30 年度の加重年平均 pH は平成 29 年度に比べ高く、平成 28 年度とほぼ同じ値となった。近年は降水中のイオン成分が減少してきているため、平成 22 年度以降の pH は平成 26, 29 年を除いて 5 を上回っており、高い値で推移している。

週毎の pH 別検体数を表 5 に示す。pH4 以下の検体は平成 30 年度はなかった。pH が 5 以下の検体は平成 29 年度と比べて 13 検体（平成 29 年度は 24 検体）と、半分程度に減少しており、逆に pH5 以上の検体は 30 検体（平成 29 年度は 21 検体）と増加していることから、年間の加重平均値は平成 29 年度と比べると平成 30 年度は高い値となった。

最高、最低、平均（単純平均および加重平均）を表 6 に、pH 加重平均値経月変化を図 6 に示す。月ごとの値では、1 月の pH が低くなかった。

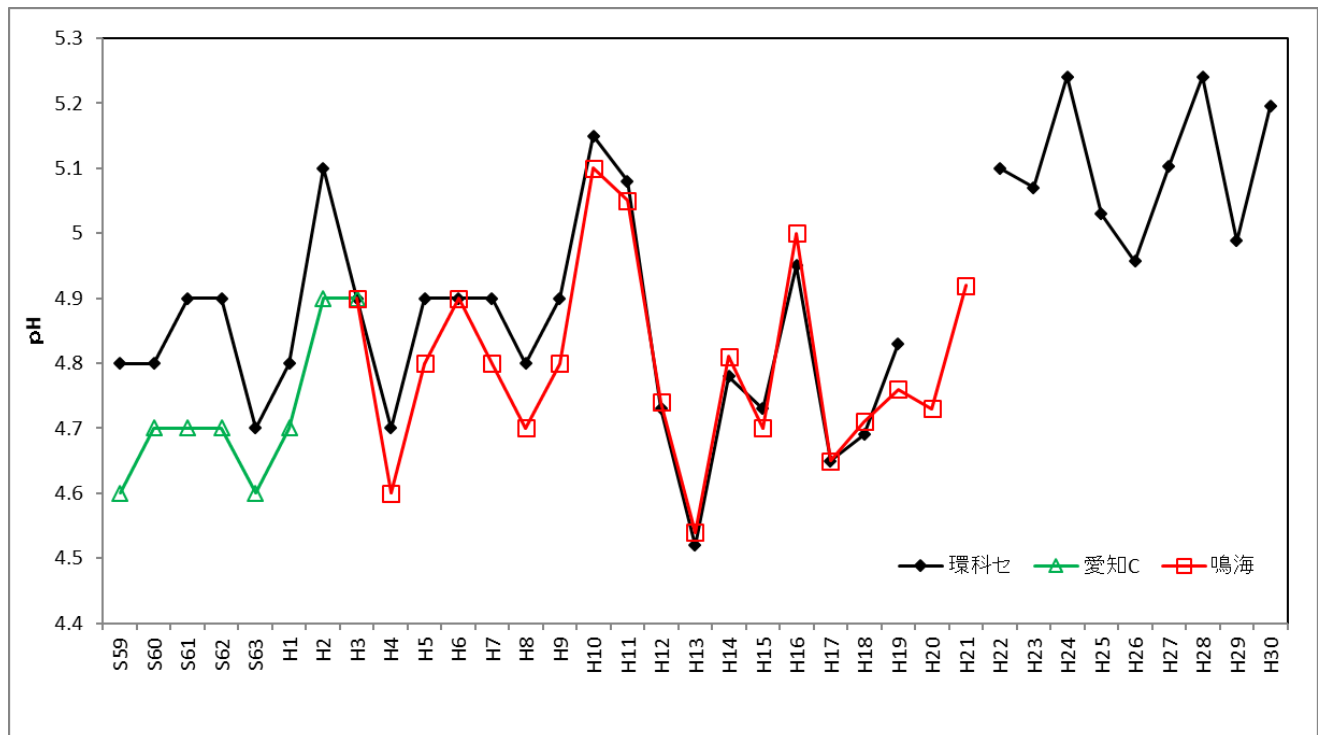


図 5 加重平均 pH の経年変化率（ろ過式捕集装置と Wet-Only 捕集装置）
(ろ過式捕集装置：昭和 59~平成 11、Wet-Only 捕集装置：平成 12~)

表 4 年降水量と加重年平均 p H

| | 降水量 mm | | | p H | | |
|-----|--------|------|------|------|------|------|
| | 環科セ | 愛知 C | 鳴海 | 環科セ | 愛知 C | 鳴海 |
| S59 | 1000 | 1090 | - | 4.8 | 4.6 | - |
| S60 | 1390 | 1430 | - | 4.8 | 4.7 | - |
| S61 | 1310 | 1420 | - | 4.9 | 4.7 | - |
| S62 | 1090 | 1200 | - | 4.9 | 4.7 | - |
| S63 | 1570 | 1740 | - | 4.7 | 4.6 | - |
| H1 | 1590 | 1680 | - | 4.8 | 4.7 | - |
| H2 | 1660 | 1730 | - | 5.1 | 4.9 | - |
| H3 | 1790 | 1760 | 1590 | 4.9 | 4.9 | 4.9 |
| H4 | 1410 | - | 1270 | 4.7 | - | 4.6 |
| H5 | 1610 | - | 1640 | 4.9 | - | 4.8 |
| H6 | 1050 | - | 1040 | 4.9 | - | 4.9 |
| H7 | 1380 | - | 1420 | 4.9 | - | 4.8 |
| H8 | 960 | - | 970 | 4.8 | - | 4.7 |
| H9 | 1620 | - | 1760 | 4.9 | - | 4.8 |
| H10 | 1671 | - | 1648 | 5.15 | - | 5.10 |
| H11 | 1432 | - | 1392 | 5.08 | - | 5.05 |
| H12 | 1769 | - | 1909 | 4.73 | - | 4.74 |
| H13 | 1477 | - | 1436 | 4.52 | - | 4.54 |
| H14 | 1078 | - | 1306 | 4.78 | - | 4.81 |
| H15 | 1539 | - | 1594 | 4.73 | - | 4.70 |
| H16 | 1942 | - | 1940 | 4.95 | - | 5.00 |
| H17 | 1096 | - | 1064 | 4.65 | - | 4.65 |
| H18 | 1515 | - | 1492 | 4.69 | - | 4.71 |
| H19 | 1409 | - | 1369 | 4.83 | - | 4.76 |
| H20 | - | - | 1680 | - | - | 4.73 |
| H21 | - | - | 1825 | - | - | 4.92 |
| H22 | 1360 | - | - | 5.10 | - | - |
| H23 | 1475 | - | - | 5.05 | - | - |
| H24 | 1415 | - | - | 5.24 | - | - |
| H25 | 1524 | - | - | 5.03 | - | - |
| H26 | 1411 | - | - | 4.96 | - | - |
| H27 | 1769 | - | - | 5.10 | - | - |
| H28 | 1526 | - | - | 5.24 | - | - |
| H29 | 1556 | - | - | 4.99 | - | - |
| H30 | 1447 | - | - | 5.20 | - | - |

(S59~H11 : ろ過式捕集装置) (H12~ : Wet-Only 捕集装置)

昭和 58 年度は、年度半ばから調査を開始したため、表から除外している。

平成 9 年度まで降水量は整数第 2 位（第 1 位四捨五入）、pH は小数点第 1 位までの表示、平成 10 年度から降水量は整数第 1 位、pH は小数点第 2 位まで表示した。

表 5 湿性降下物試料の pH 分布
Wet-Only 捕集装置（環科セ）

| 月 | 30 年 | 4 | 5 | 6 | 7 | 8 | 9 | 10 | 11 | 12 | 31 年 | 1 | 2 | 3 | 計 |
|----------|---------|---|---|---|---|---|---|----|----|----|---------|---|---|----|----|
| pH | | 4 | 5 | 6 | 7 | 8 | 9 | 10 | 11 | 12 | 31 年 | 1 | 2 | 3 | 計 |
| 6.0< | 1 | 0 | 0 | 0 | 1 | 0 | 1 | 0 | 0 | 0 | 31 年 | 0 | 0 | 1 | 4 |
| 5.0<≤6.0 | 3 | 3 | 3 | 2 | 2 | 3 | 1 | 1 | 4 | 0 | 31 年 | 3 | 1 | 26 | |
| 4.0<≤5.0 | 0 | 1 | 1 | 1 | 1 | 1 | 2 | 1 | 1 | 2 | 31 年 | 0 | 2 | 2 | 13 |
| ≤4.0 | 0 | 0 | 0 | 0 | 0 | 0 | 0 | 0 | 0 | 0 | 31 年 | 0 | 0 | 0 | 0 |
| 合計 | 4 | 4 | 4 | 3 | 4 | 4 | 4 | 2 | 5 | 2 | 31 年 | 3 | 4 | 43 | |

区分には少数第 2 位までのデータを用いたため、後の資料からの集計と異なる場合がある。
(例えば、5.01 は四捨五入で 5.0 となるが、ここでは 5.0< に数えた)。捕集期間は月の集計日の違いにより、通常の月単位と異なる。

表 6 Wet-Only 捕集装置による湿性降下物試料成分の範囲、平均値（環科セ）

| | | 最高 | 最低 | 単純平均 | 加重平均 |
|-------------------------------|-------|--------|-------|-------|-------|
| pH | | 6.28 | 4.31 | 5.23 | 5.20 |
| EC | μS/cm | 66.30 | 19.46 | 11.57 | 12.06 |
| SO ₄ ²⁻ | | 7.047 | 1.723 | 0.933 | 1.080 |
| NO ₃ ⁻ | | 10.182 | 1.825 | 0.842 | 0.984 |
| Cl ⁻ | | 8.301 | 1.386 | 0.963 | 0.542 |
| NH ₄ ⁺ | | 2.266 | 0.565 | 0.297 | 0.339 |
| Na ⁺ | | 4.148 | 0.715 | 0.480 | 0.306 |
| K ⁺ | | 0.264 | 0.078 | 0.049 | 0.042 |
| Ca ²⁺ | | 2.266 | 0.354 | 0.138 | 0.117 |
| Mg ²⁺ | | 0.536 | 0.124 | 0.070 | 0.042 |

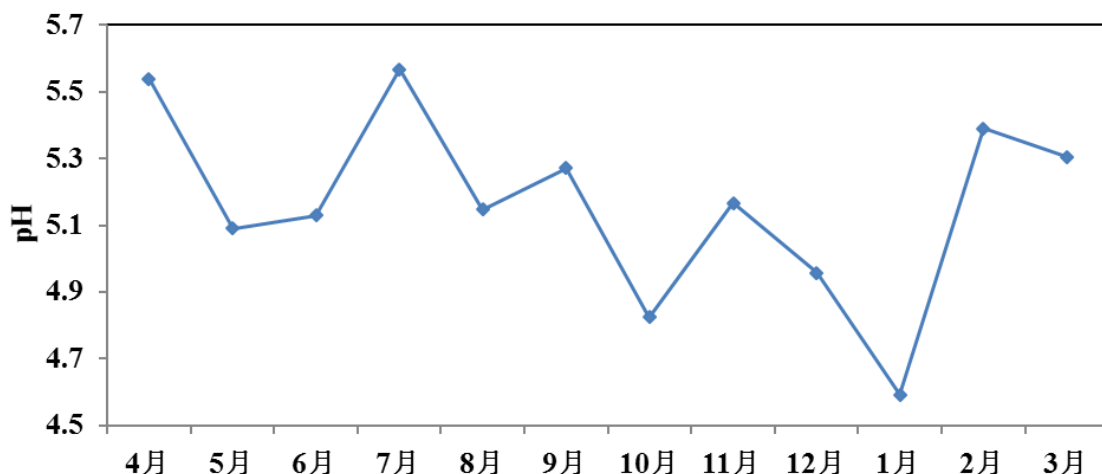


図 6 加重平均 pH 値の経月変化

(3) EC および各成分

平成 30 年度の環科セの最高濃度、最低濃度、平均濃度を表 6 (8 ページ)、加重平均濃度の経月変化を表 7、図 7 に示す。

降水量の少なかった 10 月はほとんどの成分が高い濃度を示した。7 月から 10 月には Cl^- 、 Na^+ 、 Mg^{2+} が高い値を示したが、南の海上からの風にのって海塩粒子が飛来したことに起因すると考えられる。

また、それぞれの週における Na^+/Cl^- 比や、主要な陰イオンである $[\text{SO}_4^{2-}] + [\text{NO}_3^-]$ と主要な陽イオンである $[\text{NH}_4^+] + [\text{H}^+] + [\text{Ca}^{2+}]$ について比の変化を図 8 (10 ページ) に示す。

Na^+/Cl^- 比は変動しており、年間の平均値は 0.78 であり海塩の組成比(約 0.85)と比べやや低い結果となった。

$([\text{SO}_4^{2-}] + [\text{NO}_3^-])/([\text{NH}_4^+] + [\text{H}^+])$ と $([\text{SO}_4^{2-}] + [\text{NO}_3^-])/([\text{NH}_4^+] + [\text{H}^+] + [\text{Ca}^{2+}])$ については、おおむね一致していた。

平成 12 年度以降の EC および各成分の加重年平均値の経年変化を図 9 に示す。多くの成分で経年的に減少傾向が認められたが、平成 30 年度は平成 29 年度に比べ横ばいであった。海塩粒子の成分である Cl^- 、 Na^+ 、 Mg^{2+} については平成 29 年を除いて増加傾向が認められており、平成 30 年度も前年度に比べて増加した。

全国環境研協議会 酸性雨広域大気汚染調査研究部会の報告¹⁾では、汚染物質について移流の影響を示唆しており、中国では SO_2 排出量が平成 19 年にピークを迎え、その後漸減しており、 NO_x 排出量は増加を続けていたことであった。しかし名古屋に降った酸性雨に含まれる SO_4^{2-} および NO_3^- の経年変化は平成 17 年をピークとして減少傾向にあり、別の発生源の要因も大きく影響していると考えられる。

各成分の濃度について、増加または減少の傾向があるのか、あるいは年毎の一定のぶれの範囲内 (ex. 降雨量による影響のぶれ等) などの判断の為には、今後数年にわたる傾向の分析が必要となる。

表 7 各月の加重平均濃度 : Wet-Only 捕集装置 (環科セ)

| 月 | 降水量 mm | p H | EC $\mu\text{S}/\text{cm}$ | $\mu\text{g}/\text{mL}$ | | | | | | | | |
|------|-----------|-------|-------------------------------|-------------------------|-----------------|---------------|-----------------|---------------|--------------|------------------|------------------|--|
| | | | | SO_4^{2-} | NO_3^- | Cl^- | NH_4^+ | Na^+ | K^+ | Ca^{2+} | Mg^{2+} | |
| 4 月 | 208.15 | 5.54 | 6.96 | 0.55 | 0.48 | 0.54 | 0.20 | 0.28 | 0.05 | 0.10 | 0.03 | |
| 5 月 | 214.33 | 5.09 | 8.35 | 0.81 | 0.66 | 0.18 | 0.26 | 0.09 | 0.04 | 0.08 | 0.02 | |
| 6 月 | 217.83 | 5.13 | 8.86 | 0.86 | 0.82 | 0.23 | 0.31 | 0.08 | 0.05 | 0.12 | 0.02 | |
| 7 月 | 158.09 | 5.57 | 10.03 | 0.66 | 0.44 | 1.27 | 0.23 | 0.61 | 0.04 | 0.08 | 0.07 | |
| 8 月 | 92.04 | 5.15 | 16.89 | 1.27 | 1.32 | 1.75 | 0.36 | 0.98 | 0.06 | 0.25 | 0.15 | |
| 9 月 | 259.24 | 5.27 | 16.23 | 1.05 | 0.79 | 2.32 | 0.26 | 1.12 | 0.07 | 0.14 | 0.16 | |
| 10 月 | 27.45 | 4.82 | 28.86 | 2.27 | 2.76 | 2.48 | 0.64 | 1.42 | 0.08 | 0.45 | 0.22 | |
| 11 月 | 46.66 | 5.17 | 10.01 | 0.83 | 0.99 | 0.58 | 0.30 | 0.22 | 0.04 | 0.08 | 0.05 | |
| 12 月 | 70.32 | 4.96 | 13.47 | 1.14 | 1.34 | 0.45 | 0.41 | 0.24 | 0.03 | 0.15 | 0.05 | |
| 1 月 | 28.73 | 4.59 | 21.70 | 2.12 | 1.47 | 0.61 | 0.45 | 0.28 | 0.04 | 0.27 | 0.07 | |
| 2 月 | 61.21 | 5.39 | 7.20 | 0.73 | 0.65 | 0.22 | 0.36 | 0.12 | 0.02 | 0.06 | 0.02 | |
| 3 月 | 63.41 | 5.30 | 15.16 | 1.48 | 1.67 | 1.09 | 0.54 | 0.62 | 0.06 | 0.42 | 0.12 | |
| 年間合計 | 1447.4 | 5.195 | 11.57 | 0.93 | 0.84 | 0.96 | 0.30 | 0.48 | 0.05 | 0.14 | 0.07 | |

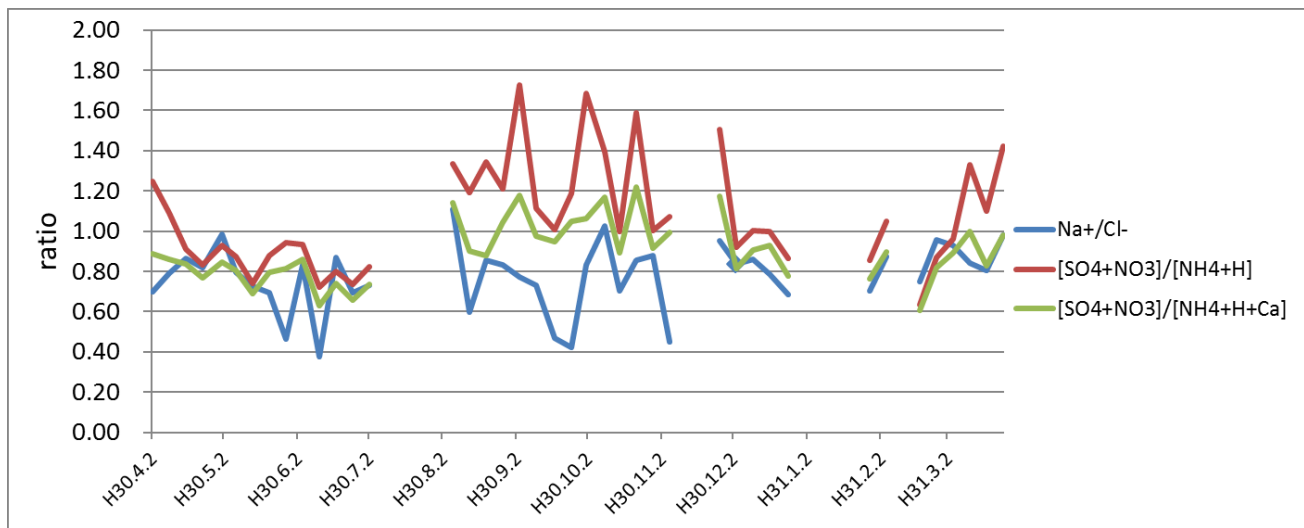


図 8 イオン成分のバランスについて

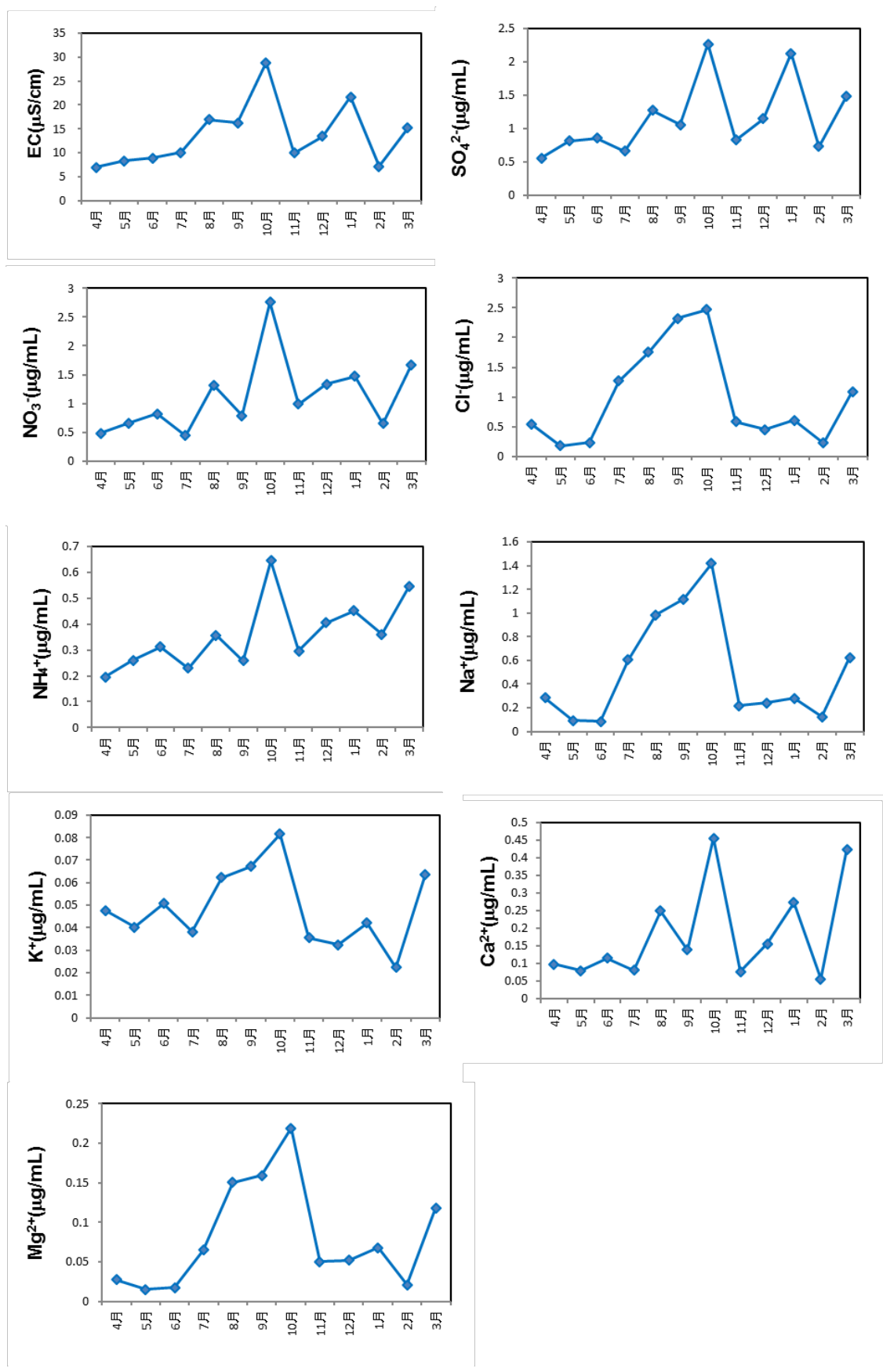


図 7 加重月平均値の経月変化

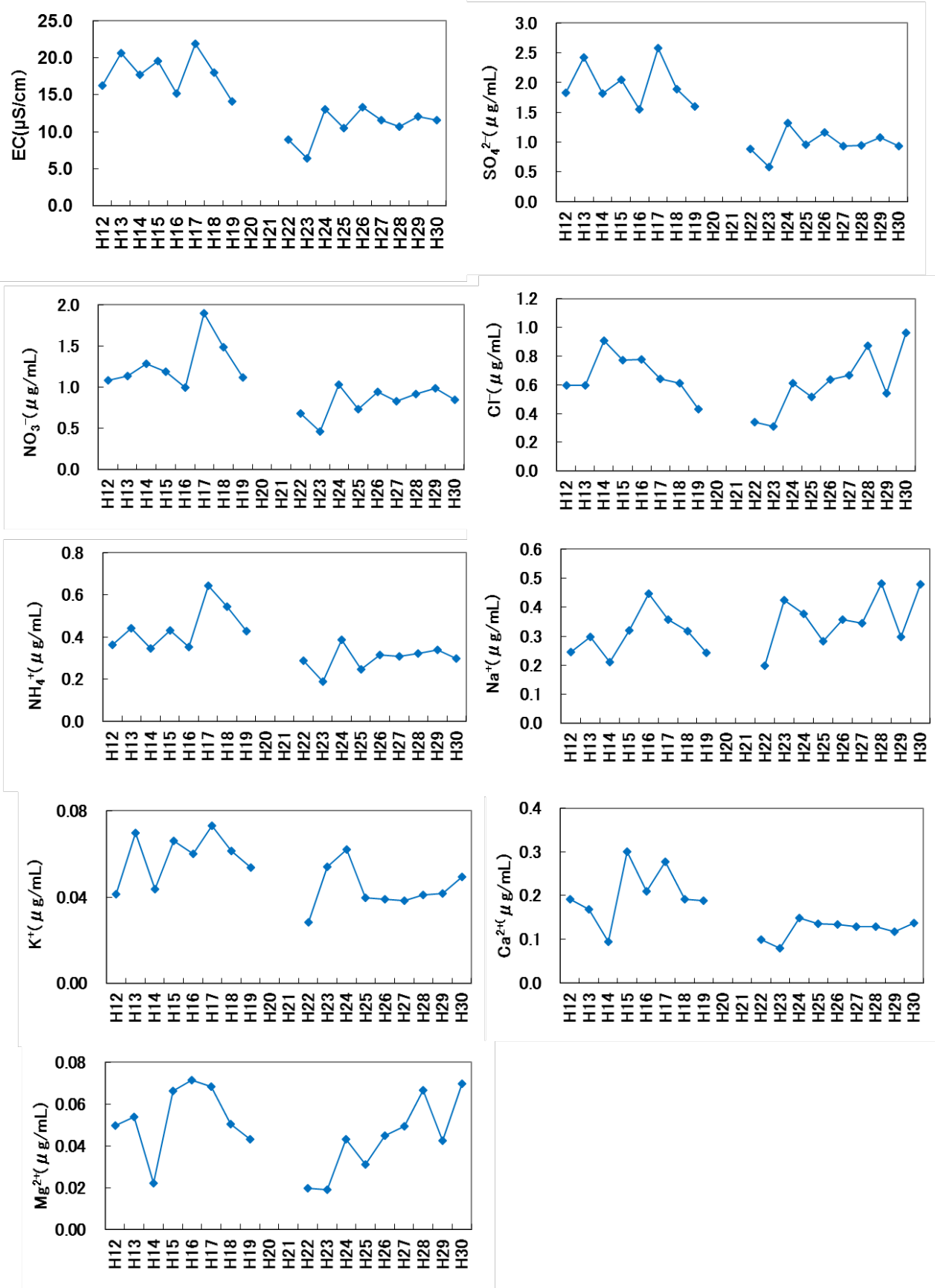


図 9 平成 12 年度以降の EC および各成分の加重年平均値の経年変化

2. 乾性降下物

I 調査目的

地方自治体の環境研究所を会員とする全国環境研協議会(以下全環研)では、日本を網羅する全国調査を平成3年度から共同で行っている。全環研調査は酸性沈着の全国状況把握を目的とし、①国際標準である降水時開放型捕集装置による湿性沈着調査、②フィルターパックおよびパッシブ法による乾性沈着調査、③インファレンシャル法による乾性沈着量評価、および湿性と合わせた総沈着量の評価を行っている。乾性調査では全環研調査の手法が環境省調査およびEANETに活用されていることなどから、この手法による調査データは環境省データと十分に比較可能である。

名古屋市もこの共同調査に参加し、酸性沈着の把握のため、前章の湿性降下物調査(①)だけでなく、フィルターパック法による乾性降下物調査(②)も行ってきた。平成30年度も乾性沈着量の把握のため、乾性降下物調査を行った。

II 調査地点

平成30年度の調査地点は、湿性降下物調査と同じ名古屋市環境科学調査センター屋上である。

平成15年度から平成21年度までは、鳴海にて試料採取を行っていたが、平成22年度以降は環科セに調査地点を変更した。

III 調査方法

乾性沈着調査はフィルターパック法により行った。フィルターパック法は、1段目で粒子状物質を、2段目でHNO₃などを、3段目でSO₂、HClを、4段目でNH₃を捕集する4段ろ紙法を用いた。

IV 調査結果

(1)ガス状成分

平成 22 年から 30 年度の環科セのガス状成分の年平均濃度、および、鳴海の平成 15 年度から平成 21 年度の経年変化を表 8 に、グラフを図 10 に示す。平成 18、19 年度は欠測期間が長いため参考値とした。経年的な変化をみると、SO₂ および NH₃ で減少傾向がみられ、HNO₃ および HCl では横ばいであった。

また、平成 30 年度のガス状成分の月平均濃度を表 9、月平均濃度の平成 30 年度と平成 29 年度との比較を図 11 に示す。すべての成分で、年度の前半で高濃度、後半で低濃度となった。春季から夏季には NH₃、NO₃ や HCl といった物質は粒子化せずにガス状態にあるため高濃度となり、冬季には粒子化してガス状態として捕集される量が少なくなった可能性がある。また HNO₃ については、二次生成の影響も考えられる。これらの傾向は、過去の全国的な変化¹⁾とも一致しており、一般的にみられる季節変動だと考えられる。

表 8 ガス状成分の年平均濃度

(nmol/m³)

| 年度 | SO ₂ (g) | HNO ₃ (g) | HCl(g) | NH ₃ (g) | 備考 |
|-----|---------------------|----------------------|--------|---------------------|----------|
| H15 | 70.2 | 27 | 19.3 | 206.6 | 鳴海 |
| H16 | 63.2 | 26.9 | 27.2 | 190.6 | 鳴海 |
| H17 | 63.1 | 31.7 | 26.8 | 195.3 | 鳴海 |
| H18 | (45.8) | (25.5) | (230) | (175.8) | 鳴海、7か月欠測 |
| H19 | (51.6) | (8.7) | (19.2) | (148.5) | 鳴海、7か月欠測 |
| H20 | 50.5 | 30.7 | 32.0 | 148.4 | 鳴海 |
| H21 | 330 | 22.6 | 22.1 | 145.9 | 鳴海 |
| H22 | 40.3 | 19.4 | 23.8 | 130.7 | 環科セ |
| H23 | 45.0 | 18.2 | 26.7 | 136.1 | 環科セ |
| H24 | 48.6 | 24.2 | 30.6 | 130.4 | 環科セ |
| H25 | 41.3 | 25.4 | 32.2 | 104.3 | 環科セ |
| H26 | 34.3 | 22.1 | 230 | 85.4 | 環科セ |
| H27 | 47.4 | 26.0 | 31.3 | 130.2 | 環科セ |
| H28 | 33.1 | 24.8 | 42.3 | 102.5 | 環科セ |
| H29 | 34.9 | 23.1 | 28.2 | 105.1 | 環科セ |
| H30 | 37.7 | 24.4 | 37.0 | 117.4 | 環科セ |

表 9 ガス状成分の月平均濃度(環科セ)

(nmol/m³)

| | SO ₂ (g) | HNO ₃ (g) | HCl(g) | NH ₃ (g) |
|---------|---------------------|----------------------|--------|---------------------|
| H30年4月 | 62.2 | 40.5 | 40.1 | 136.6 |
| H30年5月 | 51.2 | 39.7 | 46.4 | 136.6 |
| H30年6月 | 43.8 | 37.9 | 48.6 | 139.0 |
| H30年7月 | 49.2 | 43.1 | 60.6 | 144.6 |
| H30年8月 | 33.2 | 21.4 | 63.8 | 116.1 |
| H30年9月 | 37.0 | 33.0 | 38.6 | 139.9 |
| H30年10月 | 33.0 | 25.0 | 39.2 | 149.2 |
| H30年11月 | 34.5 | 16.9 | 30.6 | 119.9 |
| H30年12月 | 20.0 | 7.4 | 18.8 | 90.9 |
| H31年1月 | 28.1 | 6.4 | 17.8 | 82.7 |
| H31年2月 | 18.8 | 8.3 | 11.9 | 60.9 |
| H31年3月 | 44.2 | 15.8 | 25.6 | 100.2 |
| 最大値 | 62.2 | 43.1 | 63.8 | 149.2 |
| 最小値 | 18.8 | 6.4 | 11.9 | 60.9 |

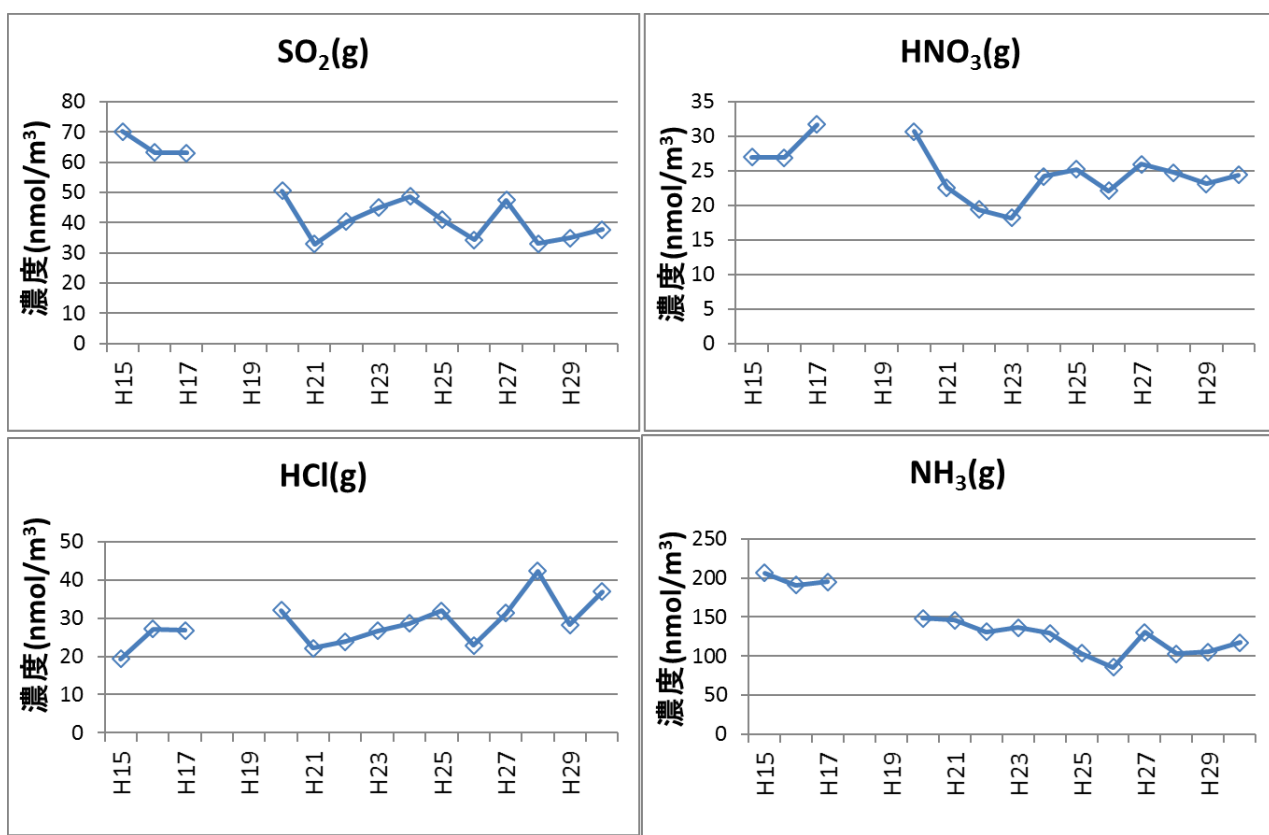


図 10 ガス状成分の経年変化

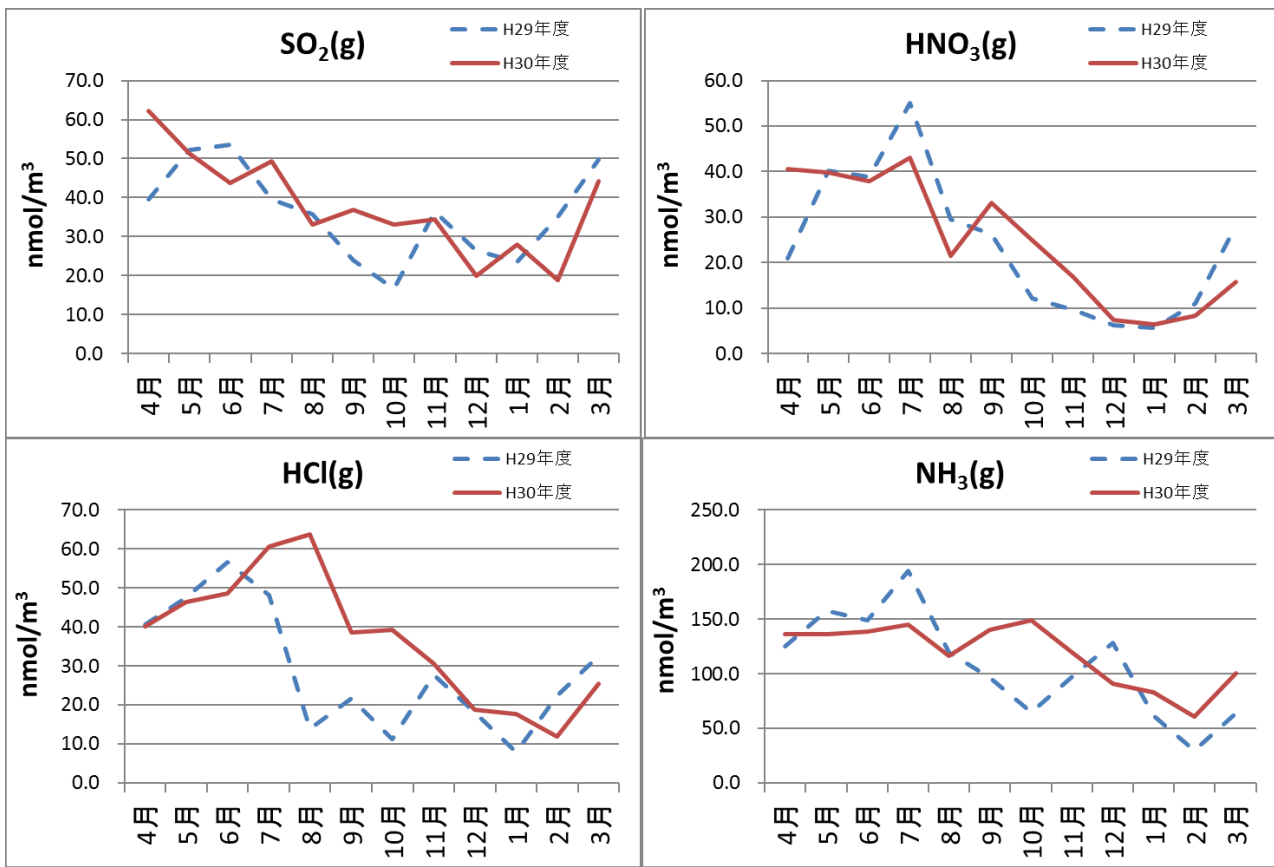


図 11 ガス状成分の月平均濃度前年度との比較

(2)粒子状成分

平成 30 年度の粒子状成分の年平均濃度および平成 15 年度からの経年変化を表 10 および図 12 に示す。Na^{+(p)}、Cl^{-(p)}、Mg^{2+(p)}といった海塩粒子の成分で、平成 29 年度の値を上回る結果となった。また、長期的には NH₄^{+(p)}について、減少の傾向がみられた。

また、平成 30 年度の粒子状成分の月平均濃度を表 11、月平均濃度の平成 30 年度と平成 29 年度との比較を図 13 に示す。NO₃^{-(p)}、Cl^{-(p)}は冬季に濃度が高くなり、気温低下による粒子化の影響を受けていると考えられる。nss-SO₄^{2-(p)}や NH₄^{+(p)}は春から夏に高濃度となっており、光化学反応による二次生成や大陸からの移流の影響が考えられる。nss-Ca^{2+(p)}は春に高濃度となっており、黄砂の飛来による影響が考えられる。

表 10 粒子状成分の年平均濃度¹⁾

(nmol/m³)

| | SO ₄ ^{2-(p)} | nss-SO ₄ ^{2-(p)} | NO ₃ ^{-(p)} | Cl ^{-(p)} | Na ^{+(p)} | K ^{+(p)} | Ca ^{2+(p)} | nss-Ca ^{2+(p)} | Mg ^{2+(p)} | NH ₄ ^{+(p)} |
|-------------------|----------------------------------|--------------------------------------|---------------------------------|--------------------|--------------------|-------------------|---------------------|-------------------------|---------------------|---------------------------------|
| H15 | 48.2 | 47.1 | 51.7 | 12.2 | 18.4 | 4.1 | 6.7 | 6.3 | 3.0 | 106.2 |
| H16 | 50.9 | 49.5 | 46.1 | 16.4 | 23.1 | 3.8 | 7.5 | 7.0 | 3.9 | 103.9 |
| H17 | 51.5 | 50.4 | 45.1 | 14.4 | 18.6 | 2.7 | 8.2 | 7.8 | 2.6 | 109.6 |
| H18 ²⁾ | (31.2) | (30.6) | (230) | (6.2) | (9.8) | (1.4) | (4.2) | (3.9) | (1.2) | (62.0) |
| H19 ²⁾ | (36.0) | (35.0) | (46.2) | (17.6) | (15.9) | (3.3) | (6.0) | (5.7) | (1.6) | (87.6) |
| H20 | 44.7 | 43.3 | 36.4 | 9.8 | 23.4 | 3.6 | 6.7 | 6.1 | 2.7 | 83.5 |
| H21 | 33.6 | 32.3 | 30.7 | 7.0 | 21.2 | 4.9 | 7.7 | 7.2 | 2.4 | 75.7 |
| H22 | 30.2 | 30.0 | 26.5 | 9.7 | 19.0 | 2.5 | 5.1 | 4.7 | 2.3 | 62.4 |
| H23 | 32.7 | 31.0 | 31.6 | 14.1 | 27.1 | 3.4 | 6.7 | 6.2 | 2.5 | 71.2 |
| H24 | 39.3 | 37.3 | 36.6 | 16.2 | 32.3 | 3.9 | 7.1 | 6.4 | 3.3 | 72.0 |
| H25 | 44.4 | 42.6 | 34.8 | 15.8 | 30.5 | 5.2 | 8.8 | 8.1 | 3.4 | 81.1 |
| H26 | 40.2 | 38.5 | 35.7 | 16.4 | 30.9 | 3.6 | 11.6 | 10.9 | 4.1 | 71.6 |
| H27 | 39.5 | 37.6 | 42.3 | 17.7 | 30.5 | 3.3 | 130 | 12.3 | 4.5 | 65.1 |
| H28 | 33.8 | 32.0 | 34.3 | 14.9 | 30.5 | 3.0 | 8.2 | 7.5 | 4.1 | 57.5 |
| H29 | 32.0 | 30.3 | 37.6 | 16.7 | 27.3 | 4.1 | 9.3 | 8.7 | 3.7 | 59.3 |
| H30 | 30.6 | 28.5 | 33.4 | 21.8 | 33.3 | 3.5 | 9.7 | 9.0 | 4.8 | 53.3 |

1) 測定地点 H15~21 : 鳴海、H22~30 : 環科セ

2) H18 および H19 は 7 カ月欠測だったので参考値扱いとした。

表 11 粒子状成分の月平均濃度

(nmol/m³)

| | SO ₄ ^{2-(p)} | nss-SO ₄ ^{2-(p)} | NO ₃ ^{-(p)} | Cl ^{-(p)} | Na ^{+(p)} | K ^{+(p)} | Ca ^{2+(p)} | nss-Ca ^{2+(p)} | Mg ^{2+(p)} | NH ₄ ^{+(p)} |
|--------|----------------------------------|--------------------------------------|---------------------------------|--------------------|--------------------|-------------------|---------------------|-------------------------|---------------------|---------------------------------|
| H30.4 | 41.1 | 38.8 | 54.7 | 16.8 | 38.2 | 4.9 | 14.0 | 13.1 | 5.5 | 81.5 |
| H30.5 | 41.2 | 39.5 | 34.4 | 12.5 | 28.8 | 4.4 | 12.3 | 11.7 | 4.3 | 63.7 |
| H30.6 | 33.6 | 32.2 | 29.0 | 7.3 | 22.0 | 2.0 | 8.2 | 7.7 | 3.9 | 47.4 |
| H30.7 | 53.4 | 50.0 | 26.4 | 32.9 | 56.5 | 3.1 | 10.4 | 9.2 | 8.0 | 54.5 |
| H30.8 | 28.6 | 24.7 | 25.1 | 45.5 | 64.5 | 3.9 | 8.7 | 7.3 | 7.7 | 28.9 |
| H30.9 | 25.2 | 23.8 | 20.8 | 9.9 | 23.6 | 2.7 | 7.0 | 6.5 | 3.3 | 26.8 |
| H30.10 | 19.3 | 16.8 | 26.1 | 34.3 | 42.0 | 3.3 | 10.8 | 9.9 | 5.8 | 39.3 |
| H30.11 | 22.5 | 21.3 | 29.8 | 11.0 | 19.4 | 2.8 | 8.1 | 7.7 | 2.5 | 42.1 |
| H30.12 | 21.4 | 19.8 | 33.5 | 23.4 | 26.3 | 3.9 | 9.7 | 9.1 | 3.7 | 55.8 |
| H31.1 | 23.0 | 21.1 | 40.0 | 33.3 | 31.8 | 4.8 | 8.4 | 7.7 | 4.0 | 72.0 |
| H31.2 | 24.3 | 23.5 | 32.3 | 10.5 | 13.6 | 2.9 | 7.5 | 7.2 | 3.1 | 53.1 |
| H31.3 | 33.1 | 31.1 | 49.1 | 24.7 | 32.5 | 3.7 | 11.0 | 10.3 | 5.5 | 74.5 |
| 最大値 | 53.4 | 49.5 | 54.7 | 45.5 | 64.5 | 4.9 | 14.0 | 12.6 | 8.0 | 81.5 |
| 最小値 | 19.3 | 18.5 | 20.8 | 7.3 | 13.6 | 2.0 | 7.0 | 6.7 | 2.5 | 26.8 |

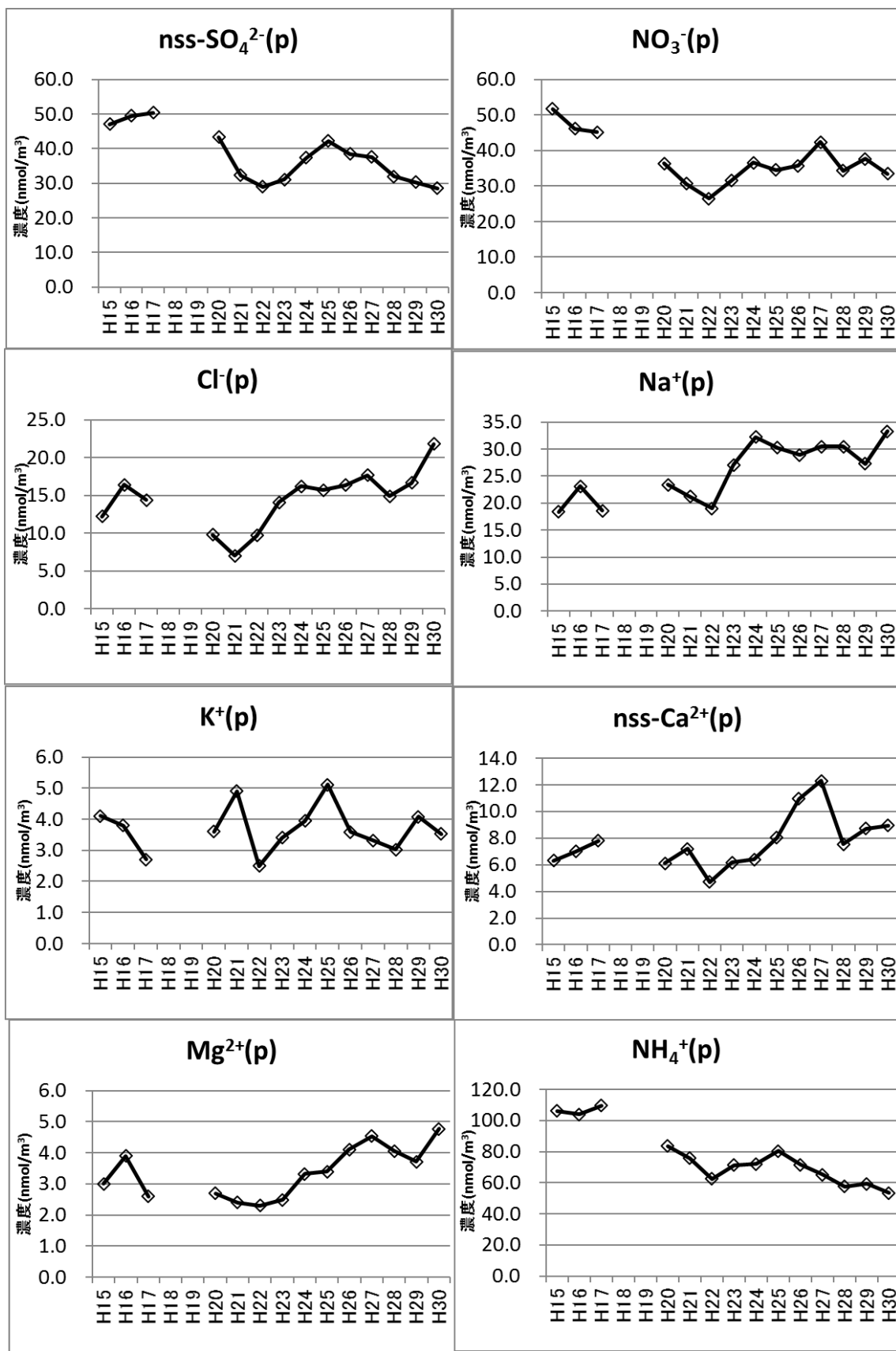


図 12 粒子状成分の経年変化

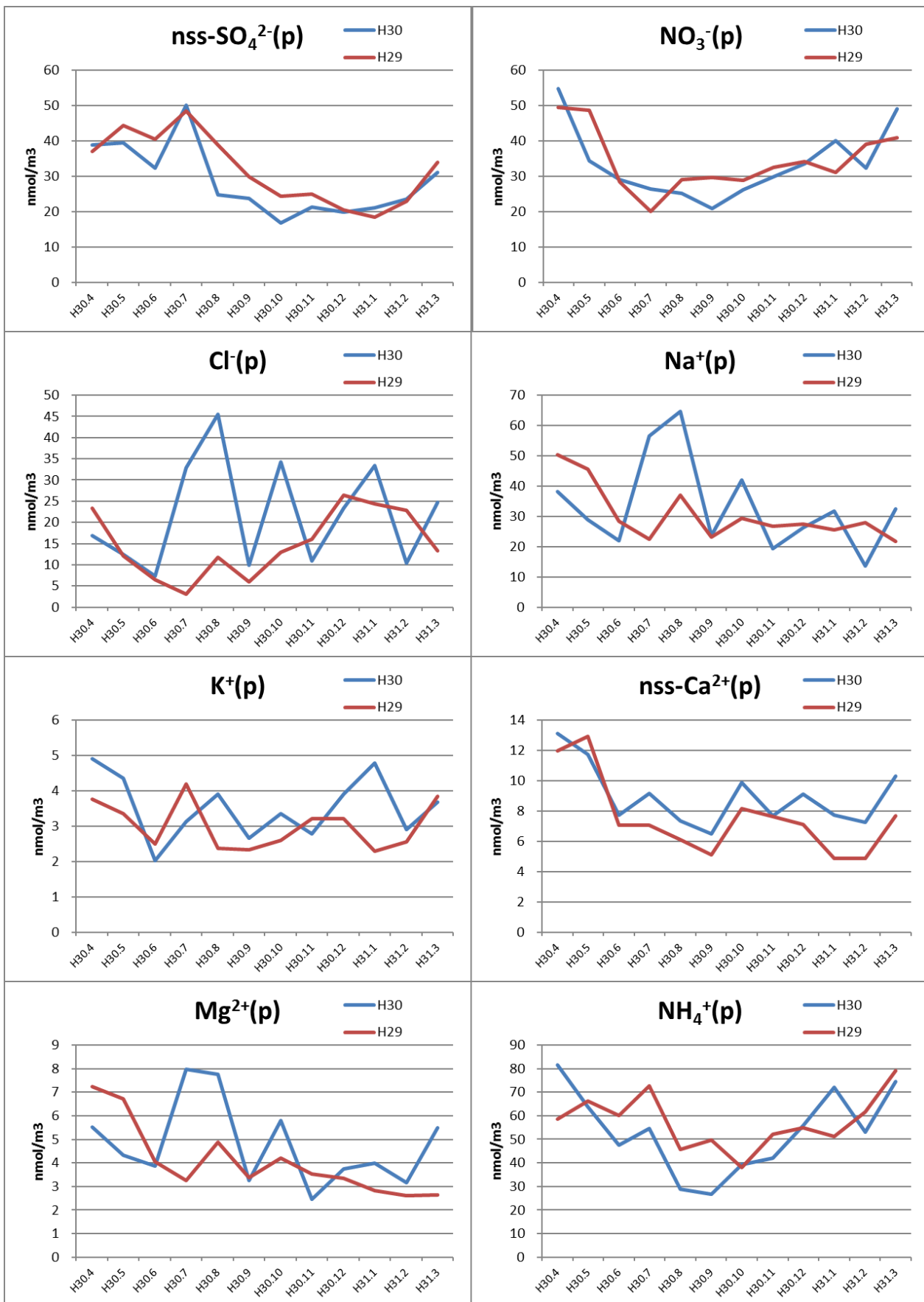


図 13 粒子状成分の月平均濃度前年度との比較

(3) ガス状および粒子状成分の総計と粒子化率

全硫酸 ($\text{SO}_2(\text{g}) + \text{nss-SO}_4^{2-}(\text{p})$)、全硝酸 ($\text{HNO}_3(\text{g}) + \text{NO}_3^-(\text{p})$)、全塩化物 ($\text{HCl}(\text{g}) + \text{Cl}^-(\text{p})$)、全アンモニア ($\text{NH}_3(\text{g}) + \text{NH}_4^+(\text{p})$) 濃度の月平均値の経月変化と粒子化率(粒子状濃度 / (粒子状濃度 + ガス状濃度))を図 14 に示す。

平成 30 年度は全塩酸を除く全ての成分について、春期に高濃度となる傾向が認められた。原因としては、越境汚染による流入が考えられる。粒子化率は全硝酸、全塩酸、全アンモニアは気温が低下する冬季に上昇する傾向があり、例年通りの変動であった。また全硫酸と全アンモニアはある程度共通した変動を示した。これは、粒子化した硫酸が対カチオンとしてアンモニウムイオンを捕獲したためと考えられる。

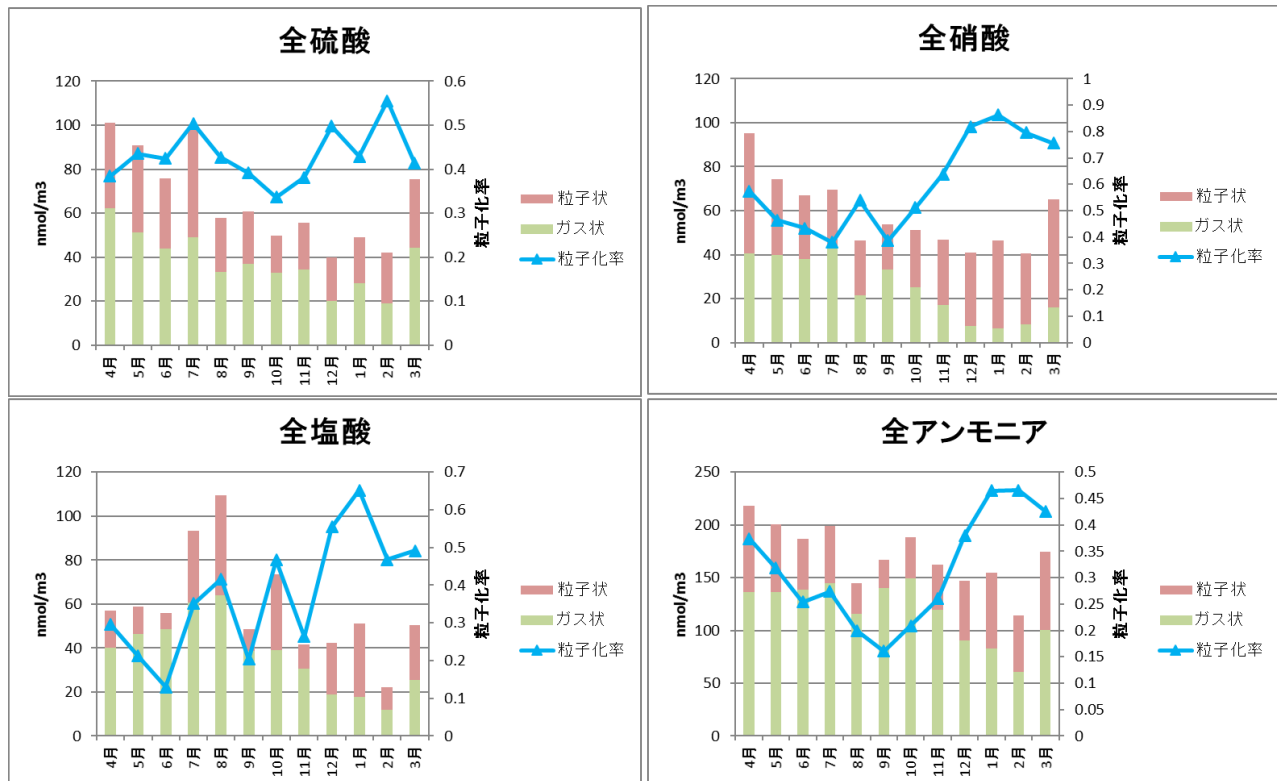


図 14 全硫酸、全硝酸、全塩化物、全アンモニア濃度の経月変化(平成 30 年度)

3. 参考文献

- 1) 第 5 次酸性雨全国調査報告書(平成 21 年度), 全国環境研会誌, 36, 106-146, 2011

資料1 平成30年度Wet-Only捕集装置で捕集した湿性降下物の測定結果(環科セ)

| 地点名 | 月 | 捕集 | | 欠測日数 | 捕集量 mL | 降水量 mm | オーバーフロー 有無 | pH |
|-----|-----|-----------|-----------|------|-----------|-----------|---------------|-----|
| | | 開始日 | 終了日 | | | | | |
| 環科セ | 4月 | H30.4.2 | H30.4.9 | 0 | 160 | 5 | 無 | 6.1 |
| | 4月 | H30.4.9 | H30.4.16 | 0 | 1920 | 61 | 無 | 5.5 |
| | 4月 | H30.4.16 | H30.4.23 | 0 | 2046 | 65 | 無 | 5.5 |
| | 4月 | H30.4.23 | H30.5.1 | 0 | 2410 | 77 | 無 | 5.6 |
| | 5月 | H30.5.1 | H30.5.7 | 0 | 1790 | 57 | 無 | 5.3 |
| | 5月 | H30.5.7 | H30.5.14 | 0 | 3620 | 115 | 無 | 5.2 |
| | 5月 | H30.5.14 | H30.5.21 | 0 | 895 | 29 | 無 | 4.6 |
| | 5月 | H30.5.21 | H30.5.28 | 0 | 425 | 14 | 無 | 5.0 |
| | 6月 | H30.5.28 | H30.6.4 | 0 | 1060 | 34 | 無 | 4.8 |
| | 6月 | H30.6.4 | H30.6.11 | 0 | 3160 | 101 | 無 | 5.1 |
| | 6月 | H30.6.11 | H30.6.18 | 0 | 520 | 17 | 無 | 5.1 |
| | 6月 | H30.6.18 | H30.6.25 | 0 | 2100 | 67 | 無 | 5.5 |
| | 7月 | H30.6.25 | H30.7.2 | 0 | 294 | 9 | 無 | 5.4 |
| | 7月 | H30.7.2 | H30.7.9 | 0 | 4300 | 137 | 無 | 5.8 |
| | 7月 | H30.7.9 | H30.7.17 | 0 | 0 | 0 | | |
| | 7月 | H30.7.17 | H30.7.23 | 0 | 0 | 0 | | |
| | 7月 | H30.7.23 | H30.7.30 | 0 | 370 | 12 | 無 | 4.8 |
| | 7月 | H30.7.30 | H30.8.6 | 0 | 0 | 0 | | |
| | 8月 | H30.8.6 | H30.8.13 | 0 | 470 | 15 | 無 | 4.6 |
| | 8月 | H30.8.13 | H30.8.20 | 0 | 290 | 9 | 無 | 6.3 |
| | 8月 | H30.8.20 | H30.8.27 | 0 | 1310 | 42 | 無 | 5.8 |
| | 8月 | H30.8.27 | H30.9.3 | 0 | 820 | 26 | 無 | 5.1 |
| | 9月 | H30.9.3 | H30.9.10 | 0 | 2000 | 64 | 無 | 5.4 |
| | 9月 | H30.9.10 | H30.9.18 | 0 | 1560 | 50 | 無 | 4.9 |
| | 9月 | H30.9.18 | H30.9.25 | 0 | 1760 | 56 | 無 | 5.2 |
| | 9月 | H30.9.25 | H30.10.1 | 0 | 2820 | 90 | 無 | 5.8 |
| | 10月 | H30.10.1 | H30.10.9 | 0 | 130 | 4 | 無 | 6.1 |
| | 10月 | H30.10.9 | H30.10.15 | 0 | 235 | 7 | 無 | 4.6 |
| | 10月 | H30.10.15 | H30.10.22 | 0 | 95 | 3 | 無 | 4.3 |
| | 10月 | H30.10.22 | H30.10.29 | 0 | 402 | 13 | 無 | 5.4 |
| | 11月 | H30.10.29 | H30.11.5 | 0 | 125 | 4 | 無 | 4.9 |
| | 11月 | H30.11.5 | H30.11.12 | 0 | 1340 | 43 | 無 | 5.2 |
| | 11月 | H30.11.12 | H30.11.19 | 0 | 0 | 0 | | |
| | 11月 | H30.11.19 | H30.11.26 | 0 | 0 | 0 | | |
| | 12月 | H30.11.26 | H30.12.3 | 0 | 109 | 3 | 無 | 5.2 |
| | 12月 | H30.12.3 | H30.12.10 | 0 | 605 | 19 | 無 | 5.0 |
| | 12月 | H30.12.10 | H30.12.17 | 0 | 1070 | 34 | 無 | 5.1 |
| | 12月 | H30.12.17 | H30.12.25 | 0 | 365 | 12 | 無 | 4.6 |
| | 12月 | H30.12.25 | H31.1.4 | 0 | 0 | 0 | | |
| | 12月 | H31.1.4 | H31.1.7 | 0 | 52 | 2 | 無 | 4.6 |
| | 1月 | H31.1.7 | H31.1.15 | 0 | 0 | 0 | | |
| | 1月 | H31.1.15 | H31.1.21 | 0 | 850 | 27 | 無 | 4.6 |
| | 1月 | H31.1.21 | H31.1.28 | 0 | 0 | 0 | | |
| | 1月 | H31.1.28 | H31.2.4 | 0 | 0 | 0 | | |
| | 2月 | H31.2.4 | H31.2.12 | 0 | 32 | 1 | 無 | 5.2 |
| | 2月 | H31.2.12 | H31.2.18 | 0 | 0 | 0 | | |
| | 2月 | H31.2.18 | H31.2.25 | 0 | 660 | 21 | 無 | 5.4 |
| | 2月 | H31.2.25 | H31.3.4 | 0 | 1230 | 39 | 無 | 5.4 |
| | 3月 | H31.3.4 | H31.3.11 | 0 | 1572 | 50 | 無 | 5.7 |
| | 3月 | H31.3.11 | H31.3.18 | 0 | 56 | 2 | 無 | 4.4 |
| | 3月 | H31.3.18 | H31.3.25 | 0 | 167 | 5 | 無 | 4.6 |
| | 3月 | H31.3.25 | H31.4.1 | 0 | 196 | 6 | 無 | 6.3 |

| EC | SO ₄ ²⁻ | NO ₃ ⁻ | Cl ⁻ | NH ₄ ⁺ | Na ⁺ | K ⁺ | Ca ²⁺ | Mg ²⁺ | H ⁺ | 不溶物質 |
|------|-------------------------------|------------------------------|-----------------|------------------------------|-----------------|----------------|------------------|------------------|----------------|------------------|
| mS/m | μmol/L | | | | | | | | | g/m ² |
| 1.8 | 22.3 | 21.7 | 66.0 | 34.5 | 46.1 | 4.8 | 14.2 | 6.3 | 0.8 | 2.423 |
| 0.9 | 9.3 | 11.0 | 19.3 | 15.1 | 15.3 | 1.5 | 4.9 | 1.9 | 3.5 | 2.475 |
| 0.5 | 2.7 | 7.3 | 5.8 | 8.0 | 5.0 | 0.8 | 1.0 | 0.4 | 3.1 | 0.000 |
| 0.6 | 4.4 | 4.5 | 17.0 | 8.3 | 13.9 | 1.1 | 1.0 | 0.8 | 2.4 | 2.132 |
| 0.7 | 7.9 | 10.2 | 5.4 | 14.4 | 5.3 | 1.1 | 1.9 | 0.7 | 5.1 | 2.985 |
| 0.5 | 5.1 | 8.7 | 2.5 | 10.0 | 2.0 | 0.9 | 1.4 | 0.3 | 5.8 | 1.341 |
| 1.9 | 21.9 | 12.8 | 5.8 | 23.8 | 4.2 | 1.1 | 3.4 | 1.0 | 23.1 | 0.385 |
| 1.5 | 11.1 | 25.1 | 23.3 | 31.8 | 16.2 | 1.6 | 4.4 | 2.3 | 9.4 | 0.582 |
| 2.0 | 24.4 | 30.1 | 8.5 | 43.3 | 3.9 | 1.9 | 9.1 | 2.0 | 14.5 | 0.000 |
| 0.7 | 7.4 | 11.0 | 3.2 | 11.8 | 2.7 | 1.2 | 1.7 | 0.4 | 7.9 | 2.537 |
| 1.4 | 5.2 | 13.0 | 41.4 | 17.8 | 15.6 | 3.8 | 3.7 | 1.6 | 7.4 | 1.591 |
| 0.5 | 4.4 | 8.1 | 2.1 | 12.5 | 1.8 | 0.6 | 1.2 | 0.3 | 3.2 | 0.447 |
| 1.9 | 18.8 | 9.7 | 74.3 | 34.6 | 51.4 | 2.5 | 4.6 | 5.6 | 4.2 | 0.000 |
| 0.8 | 5.1 | 3.8 | 33.7 | 9.2 | 24.6 | 0.9 | 1.3 | 2.1 | 1.6 | 2.163 |
| | | | | | | | | | | 0.000 |
| | | | | | | | | | | 0.000 |
| 2.2 | 17.7 | 43.4 | 30.2 | 35.9 | 26.4 | 1.3 | 8.0 | 6.8 | 14.3 | 1.030 |
| | | | | | | | | | | 0.000 |
| 3.2 | 34.1 | 66.0 | 28.3 | 50.0 | 31.4 | 1.8 | 12.9 | 7.5 | 24.9 | 0.998 |
| 1.0 | 11.7 | 14.6 | 19.8 | 21.6 | 11.8 | 1.1 | 7.1 | 4.2 | 0.5 | 1.185 |
| 1.6 | 7.1 | 4.2 | 88.9 | 6.8 | 75.8 | 2.0 | 4.4 | 8.6 | 1.6 | 1.435 |
| 1.2 | 11.7 | 25.4 | 9.1 | 22.6 | 7.6 | 0.9 | 4.9 | 2.3 | 8.1 | 1.123 |
| 3.6 | 17.9 | 6.1 | 234.2 | 10.3 | 180.4 | 4.5 | 6.5 | 22.1 | 3.6 | 0.000 |
| 1.9 | 19.6 | 27.8 | 14.0 | 29.8 | 10.3 | 1.2 | 6.2 | 2.7 | 12.7 | 4.264 |
| 0.9 | 8.1 | 18.0 | 5.5 | 19.1 | 2.6 | 0.7 | 1.7 | 1.1 | 6.8 | 1.820 |
| 0.5 | 3.1 | 5.6 | 11.6 | 5.7 | 4.9 | 0.7 | 1.0 | 1.1 | 1.6 | 1.487 |
| 2.4 | 22.3 | 20.5 | 105.5 | 24.5 | 87.6 | 2.5 | 14.8 | 11.8 | 0.9 | 0.000 |
| 3.9 | 37.6 | 79.0 | 61.2 | 56.2 | 62.7 | 2.3 | 16.2 | 10.3 | 27.5 | 0.894 |
| 4.8 | 39.2 | 88.9 | 25.8 | 79.2 | 18.2 | 2.3 | 15.0 | 4.4 | 49.3 | 0.426 |
| 2.0 | 12.2 | 21.7 | 73.7 | 17.2 | 62.9 | 1.8 | 6.5 | 8.5 | 4.2 | 0.603 |
| 2.3 | 18.1 | 26.4 | 56.1 | 32.5 | 49.2 | 2.3 | 4.4 | 7.5 | 11.9 | 0.000 |
| 0.9 | 7.7 | 15.0 | 12.7 | 14.9 | 5.7 | 0.8 | 1.7 | 1.6 | 6.3 | 0.000 |
| | | | | | | | | | | 0.000 |
| | | | | | | | | | | 0.000 |
| 2.0 | 19.3 | 41.7 | 37.8 | 33.7 | 35.9 | 2.6 | 11.5 | 6.9 | 6.8 | 0.437 |
| 1.7 | 17.2 | 24.6 | 21.7 | 36.2 | 18.1 | 1.1 | 5.8 | 3.9 | 9.2 | 1.154 |
| 0.7 | 5.3 | 12.2 | 2.7 | 9.8 | 2.3 | 0.4 | 1.8 | 0.6 | 7.6 | 0.000 |
| 2.5 | 21.0 | 39.7 | 12.1 | 34.1 | 9.5 | 0.8 | 4.5 | 2.2 | 26.7 | 0.406 |
| | | | | | | | | | | 0.000 |
| 4.3 | 49.4 | 74.3 | 59.4 | 65.6 | 41.7 | 5.3 | 26.0 | 11.5 | 24.1 | 0.000 |
| | | | | | | | | | | 0.000 |
| 2.0 | 20.4 | 20.7 | 14.6 | 22.5 | 10.3 | 0.8 | 5.6 | 2.3 | 25.6 | 0.000 |
| | | | | | | | | | | 0.000 |
| 2.1 | 18.7 | 37.7 | 49.3 | 47.1 | 43.0 | 5.1 | 9.1 | 5.6 | 6.7 | 0.676 |
| | | | | | | | | | | 0.000 |
| 0.9 | 11.1 | 11.6 | 7.7 | 32.0 | 5.7 | 0.7 | 1.7 | 1.0 | 4.0 | 0.021 |
| 0.6 | 5.4 | 9.3 | 4.4 | 12.8 | 4.2 | 0.4 | 1.0 | 0.7 | 4.1 | 0.229 |
| 0.5 | 4.1 | 8.1 | 9.1 | 10.7 | 8.5 | 0.9 | 1.0 | 1.1 | 2.0 | 1.487 |
| 6.6 | 60.4 | 164.2 | 71.1 | 125.6 | 59.8 | 6.8 | 56.5 | 14.3 | 43.3 | 0.863 |
| 5.1 | 39.4 | 65.3 | 167.8 | 69.8 | 134.9 | 5.1 | 31.4 | 19.8 | 25.3 | 0.894 |
| 4.9 | 73.4 | 105.8 | 77.3 | 125.6 | 75.9 | 3.4 | 56.5 | 19.2 | 0.6 | 4.950 |

資料2 平成30年度フィルターパック法による乾性降下物の測定結果（環科セ）

| 地点名 | 月 | 開始日時 | 終了日時 | 調査 | 積算流量 | SO ₂ (g) | HNO ₃ (g) | HCl(g) | NH ₃ (g) |
|-----|-----|-----------|-----------|----|----------------|---------------------|----------------------|--------|---------------------|
| | | | | 日数 | m ³ | nmol/m ³ | | | |
| 環科セ | 4月 | H30.4.2 | H30.4.9 | 7 | 20.80 | 125.96 | 60.24 | 37.56 | 152.05 |
| | 4月 | H30.4.9 | H30.4.16 | 7 | 19.44 | 23.79 | 23.16 | 38.78 | 118.94 |
| | 4月 | H30.4.16 | H30.4.23 | 7 | 20.00 | 53.11 | 48.43 | 40.57 | 160.04 |
| | 4月 | H30.4.23 | H30.5.1 | 8 | 25.36 | 44.82 | 30.25 | 43.11 | 116.97 |
| | 5月 | H30.5.1 | H30.5.7 | 6 | 17.65 | 35.28 | 29.90 | 34.98 | 108.20 |
| | 5月 | H30.5.7 | H30.5.14 | 7 | 20.33 | 30.20 | 23.23 | 34.46 | 101.26 |
| | 5月 | H30.5.14 | H30.5.21 | 7 | 19.98 | 55.51 | 60.44 | 50.73 | 171.03 |
| | 5月 | H30.5.21 | H30.5.28 | 7 | 20.24 | 81.32 | 43.88 | 63.61 | 161.29 |
| | 6月 | H30.5.28 | H30.6.4 | 7 | 20.02 | 41.04 | 34.72 | 60.97 | 149.22 |
| | 6月 | H30.6.4 | H30.6.11 | 7 | 21.65 | 60.09 | 54.42 | 46.70 | 151.55 |
| | 6月 | H30.6.11 | H30.6.18 | 7 | 21.80 | 31.68 | 19.80 | 42.46 | 103.15 |
| | 6月 | H30.6.18 | H30.6.25 | 7 | 19.54 | 42.28 | 42.67 | 44.41 | 152.30 |
| | 7月 | H30.6.25 | H30.7.2 | 7 | 20.98 | 17.52 | 23.34 | 43.00 | 131.67 |
| | 7月 | H30.7.2 | H30.7.9 | 7 | 24.09 | 15.86 | 4.20 | 28.81 | 101.74 |
| | 7月 | H30.7.9 | H30.7.17 | 8 | 24.03 | 69.14 | 52.25 | 69.92 | 162.60 |
| | 7月 | H30.7.17 | H30.7.23 | 6 | 21.53 | 66.93 | 67.08 | 73.57 | 154.40 |
| | 7月 | H30.7.23 | H30.7.30 | 7 | 24.47 | 47.22 | 54.01 | 57.06 | 138.94 |
| | 7月 | H30.7.30 | H30.8.6 | 7 | 20.79 | 78.81 | 59.26 | 92.46 | 177.94 |
| | 8月 | H30.8.6 | H30.8.13 | 7 | 24.23 | 44.79 | 32.54 | 20.02 | 127.67 |
| | 8月 | H30.8.13 | H30.8.20 | 7 | 21.98 | 22.16 | 13.83 | 69.83 | 122.08 |
| | 8月 | H30.8.20 | H30.8.27 | 7 | 22.09 | 23.80 | 11.81 | 132.48 | 119.45 |
| | 8月 | H30.8.27 | H30.9.3 | 7 | 22.21 | 42.26 | 27.82 | 31.65 | 95.49 |
| | 9月 | H30.9.3 | H30.9.5 | 2 | 3.49 | 16.17 | 17.92 | 45.89 | 174.33 |
| | 9月 | H30.9.10 | H30.9.18 | 8 | 27.57 | 45.35 | 41.76 | 36.74 | 145.40 |
| | 9月 | H30.9.18 | H30.9.25 | 7 | 21.61 | 33.98 | 27.94 | 38.52 | 123.20 |
| | 9月 | H30.9.25 | H30.9.30 | 5 | | | | | |
| | 10月 | H30.10.1 | H30.10.9 | 8 | 25.19 | 27.29 | 21.97 | 50.06 | 121.31 |
| | 10月 | H30.10.9 | H30.10.15 | 6 | 19.61 | 28.39 | 28.69 | 30.82 | 141.42 |
| | 10月 | H30.10.15 | H30.10.22 | 7 | 22.61 | 41.95 | 27.46 | 33.93 | 177.15 |
| | 10月 | H30.10.22 | H30.10.29 | 7 | 20.46 | 35.10 | 22.71 | 39.32 | 161.17 |
| | 11月 | H30.10.29 | H30.11.5 | 7 | 21.03 | 25.72 | 11.30 | 24.21 | 96.70 |
| | 11月 | H30.11.5 | H30.11.12 | 7 | 20.39 | 47.32 | 21.11 | 39.78 | 141.09 |
| | 11月 | H30.11.12 | H30.11.19 | 7 | 21.33 | 34.45 | 26.16 | 36.48 | 113.02 |
| | 11月 | H30.11.19 | H30.11.26 | 7 | 20.71 | 30.54 | 8.77 | 21.64 | 129.57 |
| | 12月 | H30.11.26 | H30.12.3 | 7 | 20.42 | 40.42 | 13.59 | 26.67 | 190.13 |
| | 12月 | H30.12.3 | H30.12.10 | 7 | 20.62 | 10.67 | 6.10 | 14.78 | 111.50 |
| | 12月 | H30.12.10 | H30.12.17 | 7 | 22.08 | 14.65 | 7.50 | 12.31 | 71.08 |
| | 12月 | H30.12.17 | H30.12.25 | 8 | 23.92 | 30.37 | 6.03 | 17.04 | 83.30 |
| | 12月 | H30.12.25 | H31.1.4 | 10 | 31.46 | 9.51 | 4.87 | 14.08 | 40.30 |
| | 12月 | H31.1.4 | H31.1.7 | 3 | 9.56 | 14.17 | 7.65 | 45.14 | 46.59 |
| | 1月 | H31.1.7 | H31.1.15 | 8 | 25.42 | 27.00 | 7.75 | 20.84 | 85.29 |
| | 1月 | H31.1.15 | H31.1.21 | 6 | 19.12 | 22.92 | 5.51 | 17.73 | 83.31 |
| | 1月 | H31.1.21 | H31.1.28 | 7 | 21.84 | 26.40 | 6.09 | 18.82 | 68.79 |
| | 1月 | H31.1.28 | H31.2.4 | 7 | 19.87 | 35.44 | 5.90 | 13.17 | 93.25 |
| | 2月 | H31.2.4 | H31.2.12 | 8 | 22.77 | 23.40 | 7.54 | 13.27 | 93.08 |
| | 2月 | H31.2.12 | H31.2.18 | 6 | 17.24 | 28.27 | 9.90 | 15.13 | 70.10 |
| | 2月 | H31.2.18 | H31.2.25 | 7 | | | | | |
| | 2月 | H31.2.25 | H31.3.4 | 7 | 20.14 | 24.04 | 15.98 | 19.33 | 76.81 |
| | 3月 | H31.3.4 | H31.3.11 | 7 | 20.71 | 27.28 | 12.41 | 16.81 | 82.45 |
| | 3月 | H31.3.11 | H31.3.18 | 7 | 20.16 | 29.62 | 11.91 | 22.27 | 77.03 |
| | 3月 | H31.3.18 | H31.3.25 | 7 | 20.40 | 59.43 | 16.31 | 34.25 | 121.03 |
| | 3月 | H31.3.25 | H31.4.1 | 7 | 20.09 | 60.34 | 22.75 | 28.93 | 120.11 |

| SO ₄ ²⁻ (p) | nss-SO ₄ ²⁻ (p) | NO ₃ ⁻ (p) | HCl(p) | Na ⁺ (p) | K ⁺ (p) | Ca ²⁺ (p) | nss-Ca ²⁺ (p) | Mg ²⁺ (p) | NH ₄ ⁺ (p) |
|-----------------------------------|---------------------------------------|----------------------------------|--------|---------------------|--------------------|----------------------|--------------------------|----------------------|----------------------------------|
| n mol/m ³ | | | | | | | | | |
| 33.2 | 30.9 | 49.9 | 21.2 | 37.9 | 5.3 | 4.6 | 3.8 | 3.8 | 103.2 |
| 39.3 | 35.9 | 48.7 | 38.3 | 57.8 | 4.4 | 18.5 | 17.3 | 7.8 | 49.7 |
| 50.1 | 49.0 | 63.0 | 4.9 | 17.9 | 5.7 | 21.8 | 21.4 | 4.7 | 100.3 |
| 41.9 | 39.5 | 57.0 | 5.2 | 39.8 | 4.3 | 11.7 | 10.8 | 5.8 | 72.0 |
| 44.7 | 43.1 | 31.2 | 12.0 | 25.6 | 4.7 | 10.5 | 9.9 | 4.0 | 75.9 |
| 21.9 | 20.5 | 28.6 | 10.8 | 24.4 | 3.1 | 7.2 | 6.7 | 2.9 | 38.2 |
| 66.2 | 64.2 | 31.1 | 18.0 | 33.2 | 5.5 | 15.2 | 14.4 | 5.3 | 94.9 |
| 32.6 | 30.7 | 46.1 | 9.1 | 31.7 | 4.2 | 16.2 | 15.5 | 5.0 | 47.5 |
| 31.6 | 29.8 | 36.5 | 5.0 | 29.7 | 2.2 | 8.5 | 7.8 | 4.9 | 42.4 |
| 49.0 | 47.8 | 36.8 | 6.9 | 19.9 | 1.7 | 9.7 | 9.3 | 4.2 | 74.8 |
| 20.6 | 18.8 | 28.0 | 16.0 | 28.7 | 1.6 | 7.2 | 6.6 | 4.2 | 27.3 |
| 33.2 | 32.6 | 14.5 | 1.3 | 9.6 | 2.5 | 7.4 | 7.2 | 2.2 | 45.3 |
| 47.0 | 42.2 | 23.9 | 52.7 | 80.3 | 3.3 | 6.9 | 5.2 | 10.2 | 37.8 |
| 20.4 | 14.2 | 17.2 | 121.7 | 102.8 | 3.6 | 5.0 | 2.8 | 12.5 | 10.2 |
| 60.8 | 58.9 | 26.0 | 2.7 | 31.2 | 3.0 | 10.4 | 9.7 | 5.2 | 72.2 |
| 70.1 | 68.2 | 23.2 | 6.5 | 32.6 | 2.4 | 12.6 | 11.9 | 5.3 | 90.9 |
| 57.5 | 54.3 | 31.5 | 12.9 | 53.9 | 2.8 | 13.6 | 12.4 | 8.1 | 44.4 |
| 65.8 | 63.5 | 36.3 | 2.2 | 38.2 | 3.7 | 14.0 | 13.2 | 6.5 | 74.8 |
| 39.3 | 37.4 | 26.1 | 5.9 | 30.8 | 2.2 | 10.5 | 9.8 | 4.5 | 49.6 |
| 18.2 | 14.0 | 30.1 | 49.6 | 70.5 | 3.4 | 7.0 | 5.5 | 7.8 | 16.8 |
| 20.0 | 12.5 | 24.6 | 116.2 | 123.7 | 4.4 | 8.6 | 5.9 | 14.2 | 7.9 |
| 37.3 | 35.4 | 19.7 | 9.1 | 32.1 | 5.7 | 8.8 | 8.2 | 4.4 | 42.0 |
| 7.0 | 4.1 | 14.4 | 53.1 | 48.7 | 3.0 | 2.6 | 1.5 | 2.2 | 3.4 |
| 27.9 | 26.7 | 18.7 | 2.2 | 20.1 | 2.7 | 7.4 | 7.0 | 3.4 | 24.8 |
| 27.9 | 26.7 | 25.2 | 5.1 | 19.8 | 2.5 | 7.9 | 7.4 | 3.4 | 36.3 |
| 18.0 | 14.0 | 32.2 | 41.9 | 65.7 | 3.4 | 9.9 | 8.4 | 8.2 | 16.4 |
| 30.1 | 28.3 | 16.6 | 31.3 | 29.1 | 2.8 | 9.4 | 8.7 | 4.4 | 58.9 |
| 12.3 | 11.3 | 18.3 | 29.7 | 15.6 | 3.2 | 8.7 | 8.3 | 2.5 | 52.2 |
| 17.8 | 14.7 | 35.2 | 32.6 | 52.0 | 4.0 | 15.1 | 14.0 | 7.5 | 35.7 |
| 17.2 | 15.8 | 24.6 | 15.2 | 23.3 | 2.4 | 6.2 | 5.7 | 2.5 | 33.2 |
| 34.6 | 33.1 | 43.4 | 10.4 | 25.5 | 3.3 | 10.3 | 9.8 | 3.7 | 57.6 |
| 19.7 | 18.8 | 22.7 | 6.5 | 15.2 | 2.5 | 7.7 | 7.4 | 1.8 | 35.6 |
| 18.4 | 17.6 | 28.9 | 11.8 | 13.5 | 2.9 | 8.2 | 7.9 | 1.8 | 42.4 |
| 43.2 | 40.4 | 68.6 | 39.1 | 47.4 | 7.4 | 25.6 | 24.6 | 8.1 | 94.3 |
| 16.6 | 14.9 | 22.2 | 23.1 | 28.2 | 3.2 | 8.8 | 8.2 | 3.7 | 34.3 |
| 11.9 | 11.1 | 19.5 | 13.4 | 14.2 | 2.8 | 5.2 | 4.9 | 1.8 | 36.5 |
| 27.3 | 25.8 | 53.9 | 25.6 | 24.4 | 4.8 | 9.7 | 9.1 | 3.8 | 91.3 |
| 11.9 | 10.5 | 14.1 | 21.0 | 23.3 | 2.4 | 4.3 | 3.8 | 2.6 | 28.0 |
| 20.1 | 19.1 | 21.0 | 13.0 | 16.5 | 2.4 | 2.7 | 2.4 | 1.6 | 59.1 |
| 19.2 | 17.2 | 35.8 | 33.1 | 33.6 | 3.8 | 8.0 | 7.3 | 3.8 | 56.1 |
| 25.5 | 24.3 | 36.3 | 23.3 | 20.6 | 5.4 | 6.4 | 6.0 | 2.9 | 81.7 |
| 19.6 | 17.5 | 32.3 | 34.7 | 34.8 | 4.6 | 7.3 | 6.6 | 4.4 | 60.3 |
| 28.6 | 26.4 | 55.9 | 40.9 | 36.5 | 5.6 | 11.7 | 10.9 | 4.7 | 93.5 |
| 25.8 | 24.5 | 37.2 | 18.2 | 20.9 | 3.2 | 8.8 | 8.3 | 4.0 | 60.2 |
| 30.4 | 29.7 | 27.9 | 8.5 | 11.0 | 2.8 | 8.3 | 8.0 | 2.6 | 65.9 |
| 41.3 | 40.0 | 62.4 | 13.7 | 21.1 | 5.5 | 13.0 | 12.5 | 5.8 | 86.6 |
| 26.7 | 25.3 | 44.7 | 20.0 | 21.6 | 3.1 | 7.9 | 7.4 | 4.4 | 65.8 |
| 29.9 | 27.9 | 46.1 | 22.0 | 32.7 | 3.5 | 8.2 | 7.5 | 4.3 | 74.0 |
| 31.6 | 28.8 | 39.7 | 31.8 | 46.0 | 3.2 | 9.6 | 8.6 | 6.3 | 62.6 |
| 44.2 | 42.4 | 66.1 | 24.9 | 29.8 | 5.0 | 18.3 | 17.7 | 6.8 | 95.5 |